

تأثیر تنش خشکی بر خصوصیات فتوسنتزی، ترکیبات فنلی و ظرفیت مهار رادیکال‌های فعال ژنوتیپ‌های مختلف نخود (*Cicer arietinum* L.) در محیط آبکشت

محمد زارع مهرجردی^۱، عبدالرضا باقری^۱، احمدرضا بهرامی^۲، جعفر نباتی^{۳*} و علی معصومی^۴

(تاریخ دریافت: ۱۳۹۰/۹/۲۲؛ تاریخ پذیرش: ۱۳۹۰/۱۲/۹)

چکیده

کاهش فتوسنتز مهم‌ترین دلیل افت تولید در شرایط تنش خشکی به حساب می‌آید. به همین منظور، مطالعه‌ای با هدف بررسی تأثیر تنش خشکی بر تبادلات گازی، کلروفیل فلورسانس، رنگدانه‌های فتوسنتزی، پایداری غشاء، ترکیبات فنلی و ظرفیت آنتی‌اکسیدانی برگ‌ها و ارتباط آنها با تحمل به خشکی در ۱۲ ژنوتیپ نخود پس از اعمال تنش به مدت دو هفته انجام گرفت. آزمایش به صورت کرت‌های خرد شده در قالب طرح بلوک‌های کامل تصادفی با سه تکرار اجرا شد که در آن تیمارهای تنش (۳- و ۶- بار) به عنوان کرت اصلی و ژنوتیپ‌ها به عنوان کرت فرعی در نظر گرفته شدند. نتایج نشان داد که با افزایش شدت تنش خشکی، میزان فتوسنتز، تبخیر و تعرق، کارایی مصرف آب، کلروفیل a، کلروفیل b، فنل کل و شاخص پایداری غشاء کاهش معنی‌داری پیدا کردند. در مقابل، عملکرد کوانتومی فتوسیستم II و ظرفیت مهار رادیکال‌های آزاد برگ با افزایش شدت تنش خشکی تغییر معنی‌داری پیدا نکردند. از نظر صفات مورد ارزیابی، تنوع زیادی بین ژنوتیپ‌ها مشاهده شد. به طوری که ژنوتیپ MCC753 بیشترین میزان فتوسنتز، تبخیر و تعرق، کلروفیل b و شاخص پایداری غشاء، ژنوتیپ MCC783 بیشترین کارایی مصرف آب، ژنوتیپ MCC759 بیشترین میزان فنل کل برگ و ژنوتیپ MCC760 بیشترین ظرفیت مهار رادیکال‌های آزاد را داشتند. بررسی همبستگی بین صفات نشان داد که بین فتوسنتز و تبخیر و تعرق با مقدار نسبی آب برگ و مقدار ماده خشک همبستگی مثبت و معنی‌داری وجود دارد. در کل، تنش خشکی به صورت مستقیم از طریق کاهش هدایت روزنه‌ها و به صورت غیرمستقیم از طریق ایجاد تنش اکسیداتیو و در نتیجه تخریب رنگدانه‌های فتوسنتزی و غشای سلولی می‌تواند به کاهش فتوسنتز در ژنوتیپ‌های نخود منجر شود. در این آزمایش، در فتوسنتز بالای محدوده پنج میکرومول بر مترمربع، کاهش هدایت روزنه‌ای و در زیر این محدوده، کاهش پایداری غشاء و تخریب کلروفیل a در میان صفات اندازه‌گیری شده نقش مؤثرتری در میزان فتوسنتز داشتند.

واژه‌های کلیدی: آنتی‌اکسیدان، عملکرد کوانتومی، کلروفیل

۱. گروه بیوتکنولوژی، دانشکده کشاورزی، دانشگاه فردوسی مشهد
۲. گروه علوم، دانشکده علوم، دانشگاه فردوسی مشهد
۳. گروه زراعت، دانشکده کشاورزی، دانشگاه فردوسی مشهد
۴. دانشکده کشاورزی، دانشگاه پیام‌نور خراسان رضوی

*: مسئول مکاتبات، پست الکترونیکی: jafarnabati@gmail.com

مقدمه

کارتونئیدها از ساختارهای سلولی خود در برابر رادیکال‌های فعال تولید شده در شرایط تنش محافظت کنند (۱۲).

نخود (*Cicer arietinum* L.) به‌عنوان یکی از حبوبات مهم، جایگاه ویژه‌ای در سبد غذایی مردم خاورمیانه دارد. براساس آمار فائو (۲۱)، ایران با وجود داشتن سومین سطح زیر کشت در میان ۵۱ کشور تولیدکننده نخود، از نظر میزان تولید در واحد سطح در مقام چهل و نهم قرار گرفته است. از آنجایی که این محصول در ایران در اواخر زمستان و اوایل بهار و بیشتر به‌صورت دیم کشت می‌شود به‌دلیل برخورد دوره‌ی زایشی گیاه با شرایط نامناسب محیطی و کاهش نزولات جوی، به‌طور چشم‌گیری از عملکرد آن کاسته می‌شود (۴). به‌نظر می‌رسد گزینش و اصلاح ارقامی که از مقاومت به خشکی بهتری برخوردار باشند می‌تواند در افزایش عملکرد این محصول در کشور مؤثر باشد. در ارتباط با گزینش ارقام متحمل به خشکی در نخود مطالعات مختلفی صورت گرفته و در مواردی گزینش برای ارقام زودرس با موفقیت همراه بوده است. مشخص شده که تنش خشکی می‌تواند به کاهش مقدار فتوسنتز، تبخیر و تعرق و مقدار کلروفیل در برگ نخود منجر شود (۵۰).

تبادلات گازی (۹)، مقدار فلورسانس کلروفیل (۲۹) و مقدار محتوای رنگدانه‌های فتوسنتزی (۱۶) صفاتی هستند که می‌توان از آنها جهت بررسی تأثیر تنش خشکی بر سامانه فتوسنتزی گیاه استفاده کرد. علی‌رغم این‌که تأثیر تنش خشکی بر صفات فوق در مطالعات مختلف مورد بررسی قرار گرفته است، با این حال کمتر به تنوع پاسخ این صفات به تنش خشکی در بین ژنوتیپ‌ها پرداخته شده است. در این ارتباط، تعدادی از مطالعات نشان داده که برخی از این خصوصیات نمی‌توانند به‌عنوان یک معیار گزینشی مناسب برای ارزیابی ژنوتیپ‌های متحمل به خشکی به‌کار گرفته شوند (۹ و ۳۹). به خاطر اثرهای چندگانه خشکی بر فتوسنتز، به نظر می‌رسد که بررسی کارآیی هر یک از این روش‌ها برای انتخاب ژنوتیپ‌های متحمل به خشکی در نخود ضروری باشد. این مطالعه با هدف بررسی تأثیر تنش خشکی بر تبادلات گازی، کلروفیل فلورسانس، مقدار

تنش خشکی یکی از مهم‌ترین عوامل کاهش بهره‌وری تولید محصولات کشاورزی در سراسر جهان و هم‌چنین ایران به شمار می‌رود (۴۴). افزایش تحمل گیاهان زراعی به این تنش برای حفظ عملکرد در مناطقی که دارای فصل خشک هستند از اهمیت زیادی برخوردار می‌باشد. بنابراین، بهبود تحمل طولانی‌تر به تنش خشکی در گیاهان زراعی، هدف اصلی بسیاری از برنامه‌های به‌نژادی به منظور افزایش تولید در این مناطق بوده است (۴۵). مطالعات زیادی به منظور شناسایی صفات فیزیولوژیک که بتوان از آنها به‌عنوان یک شاخص گزینشی برای تحمل به خشکی استفاده کرد انجام شده است (۱۴ و ۳۴).

مکانیزم‌های مختلفی وجود دارد که در تحمل به خشکی گیاهان نقش دارند، ولی درجه اهمیت آنها هنوز چندان مشخص نیست (۴۳). فتوسنتز جزو اولین فرآیندهایی است که تحت تأثیر تنش خشکی قرار می‌گیرد (۱۷). در شرایط تنش خشکی، با کاهش مقدار آب قابل دسترس، فتوسنتز کاهش یافته و متعاقب آن تولید ماده خشک گیاه نیز کاهش می‌یابد (۳۰). مشخص شده که کاهش مقدار فتوسنتز در شرایط تنش خشکی تحت تأثیر عوامل وابسته به روزنه و هم‌چنین عوامل غیر وابسته به روزنه، از جمله محدودیت‌های متابولیک رخ می‌دهد (۲۳، ۲۴ و ۳۱). در شرایط تنش خشکی، میزان دی‌اکسید کربن قابل دسترس برای فتوسنتز به‌واسطه کاهش هدایت روزنه‌ای و مزوفیلی کاهش می‌یابد (۲۳ و ۲۴). از طرف دیگر، کاهش مقدار تولید و ایجاد وقفه در فرآیند چرخه تثبیت کربن به ایجاد محدودیت متابولیک و در ادامه به کاهش فتوسنتز منجر می‌شود (۳۱). به‌علاوه، تنش خشکی می‌تواند باعث ایجاد تنش اکسیداتیو شود (۱۸) که این فرآیند می‌تواند نقش ویژه‌ای در تخریب سامانه فتوسنتزی، تخریب غشای سلولی و کلروپلاستی (۴۹)، کاهش مقدار رنگدانه‌های کلروفیل a و b (۲۷) و متعاقب آن کاهش توانایی فتوسنتز ایفا کند (۴۱). در این راستا، گیاهان قادرند با تولید ترکیبات آنتی‌اکسیدانی نظیر ترکیبات فنلی و

برداشت اندام هوایی و ریشه‌ها انجام شد و هم زمان جهت اندازه‌گیری رنگدانه‌های فتوسنتزی، ظرفیت آنتی‌اکسیدانی، فنل کل و تعیین شاخص پایداری غشاء نمونه‌هایی از برگ تهیه شد. میزان فتوسنتز و تبخیر و تعرق در جوان‌ترین برگ کاملاً توسعه یافته ژنوتیپ‌های نخود قبل از برداشت به‌وسیله دستگاه اندازه‌گیری فتوسنتز (مدل LCA4) تعیین شد. برای این منظور، مقدار شدت نور با استفاده از یک ماتریس نه عددی از LEDهای ۰/۳ وات منتشرکننده نور سفید در فاصله ۱/۵ سانتی‌متری در مقدار نور ۹۰۰ میکرومول بر مترمربع در سطح برگ تثبیت شد. کارایی مصرف آب از طریق تقسیم مقدار فتوسنتز خالص بر تبخیر و تعرق محاسبه شد. مقدار عملکرد کوانتومی فتوسیستم II در برگ‌های جوان کاملاً توسعه یافته با استفاده از دستگاه فلوریمتر OPTI (مدل OS1-FL) با سه نمونه‌گیری در تکرار اندازه‌گیری شد. برای اندازه‌گیری کلروفیل a و b از روش دری و همکاران (۱۹) استفاده شد. برای این منظور، ۱۰۰ میلی‌گرم برگ تازه از برگ‌های جوان کاملاً توسعه یافته جدا و استخراج رنگدانه‌ها با استفاده از متانول مطلق انجام شد. میزان جذب در طول موج‌های ۴۷۰، ۶۵۳ و ۶۶۶ نانومتر با استفاده از اسپکتروفوتومتر (Jenway UV-Visible Spectrophotometer Model 6305) انجام شد. در نهایت، براساس معادلات زیر، مقدار کلروفیل a و b و کارتنوئیدها محاسبه شد:

$$Ch_a = 15/65 \times A_{666} - 7/340 \times A_{653} \quad [1]$$

$$Ch_b = 27/05 \times A_{653} - 11/21 \times A_{666} \quad [2]$$

$$C_{(x+c)} = (1000 \times A_{470} - 1/63 \times Ch_a - 104/96 \times Ch_b) / 221 \quad [3]$$

که Ch_a کلروفیل a، Ch_b کلروفیل b و $C_{(x+c)}$ میزان کارتنوئیدها می‌باشند. برای اندازه‌گیری مهار فعالیت رادیکال DPPH (1,1-diphenyl-2-picrylhydrazyl) نمونه‌های برگ تازه وزن شده (۱۰۰ میلی‌گرم) و با استفاده از هموژنایزر در نیتروژن مایع و میکروتیوب در اتانول (۹۶٪) هموژنایز و به مدت ۲۴ ساعت در دمای چهار درجه سلسیوس نگهداری شدند.

رنگدانه‌های فتوسنتزی، پایداری غشاء، مقدار ترکیبات فنلی و ظرفیت آنتی‌اکسیدانی برگ‌ها و ارتباط آنها با تحمل به خشکی در ۱۲ ژنوتیپ نخود انجام گرفت.

مواد و روش‌ها

براساس نتایج آزمایش‌های مزرعه‌ای سکسینا و همکاران (۴۶)، صداقت خواهی (۲) و گنجعلی و همکاران (۳)، ۱۲ ژنوتیپ نخود متنوع از لحاظ عکس‌العمل به تنش خشکی انتخاب و بذر آنها از بانک بذر حبوبات پژوهشکده علوم گیاهی دانشگاه فردوسی مشهد تهیه شد (جدول ۱). بذرهای سالم و بدون شکستگی، پس از شستشوی سطحی با آب، به مدت یک هفته روی کاغذ صافی مرطوب شده با آب مقطر در پتری دیش‌هایی با قطر نه سانتی‌متر جوانه‌دار شدند. این گیاهچه‌ها به منظور رشد و اعمال تیمار به محیط آبکشت در گلخانه منتقل شدند. سیستم آبکشت مورد استفاده شامل لوله‌هایی از جنس پلی‌وینیل کلراید (PVC) با قطر شش سانتی‌متر و طول ۱/۵ متر بود، که با فاصله ۵۰ سانتی‌متر از یکدیگر به صورت افقی قرار گرفتند. روی این لوله‌ها منافذی با فاصله ۱۰ سانتی‌متر از یکدیگر تعبیه شد که گیاهچه‌های تولید شده در این منافذ مستقر شدند. هر یک از لوله‌ها با سه لیتر محلول غذایی هوگلند پر و هر ۱۴ روز یکبار تا پایان آزمایش این محلول تعویض شد. چهار هفته پس از انتقال گیاهچه‌ها به محیط آبکشت، تیمار تنش خشکی با استفاده از پلی‌اتیلن گلیکول ۶۰۰۰ و براساس معادله میشل کافمن (۳۸) در دو سطح اسمزی ۳- و ۶- بار در محیط کشت اعمال شد. جهت جلوگیری از وارد شدن تنش شدید، تنش به صورت تدریجی و با نرخ ۰/۵ بار در روز برای تیمار ۳- و یکبار در روز برای تیمار ۶- به مدت شش روز اعمال شد. آزمایش به صورت کرت‌های خرد شده در قالب طرح بلوک‌های کامل تصادفی با سه تکرار انجام گرفت که در آن تیمارهای تنش به‌عنوان کرت اصلی و ژنوتیپ‌ها به‌عنوان کرت فرعی توزیع شدند. دو هفته پس از اعمال تیمارها، مقدار تبادل گاز و کلروفیل فلورسانس در تیمارها اندازه‌گیری و سپس

جدول ۱. ژنوتیپ‌های مورد استفاده در آزمایش و منشأ آنها

ردیف	شناسه در بانک بذر	منشأ	پاسخ به به خشکی در مطالعات زراعی	منبع
۱	MCC333	(Flip87-84c)	ایکاردا	صداقت خواهی، ۱۳۸۶
۲	MCC537		ایران	گنجعلی و همکاران، ۱۳۸۸
۳	MCC544		ایران	گنجعلی و همکاران، ۱۳۸۸
۴	MCC674		ایران	گنجعلی و همکاران، ۱۳۸۸
۵	MCC753	(Sel96TH11439)	ایکاردا	صداقت خواهی، ۱۳۸۶
۶	MCC759	(Flip97-41c)	ایکاردا	گنجعلی و همکاران، ۱۳۸۸
۷	MCC760	(Flip97-43c)	ایکاردا	گنجعلی و همکاران، ۱۳۸۸
۸	MCC770	(Flip97-91c)	ایکاردا	گنجعلی و همکاران، ۱۳۸۸
۹	MCC773	(Flip97-97c)	ایکاردا	صداقت خواهی، ۱۳۸۶
۱۰	MCC783	Flip97-120c)	ایکاردا	گنجعلی و همکاران، ۱۳۸۸
۱۱	MCC806	(Flip97-196c)	ایکاردا	گنجعلی و همکاران، ۱۳۸۸
۱۲	MCC877	(ICC4958)	ایکریست	سکسینا و همکاران، ۱۹۹۳

در ۷۶۵ نانومتر قرائت شد. مقدار فنل کل با استفاده از منحنی استاندارد اسید گالیک محاسبه شد.

میزان پایداری غشاء از روش اندازه‌گیری میزان نشت الکتریکی برگ ارزیابی شد (۵۱). برای این منظور، نمونه‌های برگ درون آب مقطر با حجم ۲۰ میلی‌لیتر منتقل و به مدت ۲۴ ساعت در دمای اتاق نگهداری شدند. سپس میزان هدایت الکتریکی آب مقطر همراه نمونه به عنوان نشت اولیه اندازه‌گیری شد. نشت ثانویه نیز از طریق اندازه‌گیری میزان هدایت الکتریکی نمونه‌ها پس از حرارت دادن آنها به مدت یک ساعت در ۱۰۰ درجه سلسیوس تعیین گردید. شاخص پایداری غشاء از طریق رابطه زیر محاسبه شد:

$100 \times ((\text{نشت ثانویه} / \text{نشت اولیه}) - 1) = \text{شاخص پایداری غشاء}$

[۵]

برای تجزیه داده‌ها، تعیین روابط بین صفات و رسم نمودارها، از نرم‌افزارهای JMP، STATISTICA و Excel استفاده شد و مقایسه میانگین‌ها با استفاده از آزمون دانکن و LSD انجام گرفت.

مواد جامد نامحلول با استفاده از ساتریفیوژ ۳۵۰۰g به مدت ۵ دقیقه جدا شدند. از عصاره به دست آمده برای اندازه‌گیری فعالیت آنتی‌اکسیدانی و فنل کل استفاده شد. مقدار ۲۰ میکرولیتر از محلول استخراجی با ۸۰۰ میکرولیتر از DPPH محلول در اتانول (۰/۵ میلی‌مولار) مخلوط شد و در نهایت میزان جذب در ۵۱۷ نانومتر پس از ۳۰ دقیقه تاریکی قرائت شد (۵). برای تعیین ظرفیت مهار فعالیت رادیکال DPPH از فرمول زیر استفاده شد:

– جذب نمونه شاهد)) = درصد تخریب رادیکال‌های فعال
 $100 \times (\text{جذب نمونه شاهد} / (\text{جذب نمونه مورد ارزیابی}))$

[۴]

مقدار فنل کل با استفاده از روش معرف فولین شیکالتو تعیین شد (۴۸). بیست میکرولیتر از عصاره اتانولی، یک میلی‌لیتر آب مقطر و ۲۰ میکرولیتر معرف فولین شیکالتو به درون میکروتیوب‌های ۱/۵ میلی‌لیتری اضافه شد. بعد از ۵ دقیقه، ۱۲۰ میکرولیتر کربنات سدیم (۲۰٪ وزنی حجمی) به محلول واکنش اضافه شد و بعد از ۳۰ دقیقه نگهداری در تاریکی میزان جذب

نتایج و بحث

اگر چه روند کاهش کارایی مصرف آب با افزایش شدت تنش مشاهده شد، اما این کاهش معنی‌دار نبود. با این وجود از نظر کارایی مصرف آب بین ژنوتیپ‌ها اختلاف معنی‌دار مشاهده شد. در تیمارهای مورد مطالعه، بیشترین مقدار کارایی مصرف آب در ژنوتیپ MCC783 و کمترین مقدار در ژنوتیپ MCC877 مشاهده شد. اثر متقابل ژنوتیپ و تنش خشکی نیز در سطح ۵٪ معنی‌دار بود. کارایی مصرف آب در برخی از ژنوتیپ‌ها مانند MCC537 و MCC783 با افزایش شدت تنش به‌طور معنی‌داری افزایش یافت. اما در برخی دیگر از ژنوتیپ‌ها مانند MCC877 کارایی مصرف آب با افزایش شدت تنش کاهش یافت (جدول ۲). بررسی مقدار عملکرد کوانتومی فتوسیستم II در ژنوتیپ‌ها و تیمارهای مورد مطالعه نشان داد که اختلاف معنی‌داری از این نظر بین تیمارهای مورد مطالعه وجود ندارد. با این حال، بین ژنوتیپ‌ها و اثر متقابل ژنوتیپ و تنش خشکی اختلاف معنی‌دار مشاهده شد. از نظر عملکرد کوانتومی، ژنوتیپ MCC806 بیشترین و ژنوتیپ MCC877 کمترین مقدار را به خود اختصاص دادند. با وجود برخی تغییرات در ژنوتیپ‌ها، در مجموع میزان تغییرات این عامل بسیار اندک بود (جدول ۳).

بررسی تغییرات رنگدانه‌های فتوسنتزی در پاسخ به تنش خشکی نشان داد که با افزایش شدت تنش به‌طور معنی‌داری از میزان رنگدانه‌های کلروفیل a و کلروفیل b کاسته شد (جدول ۴). اما تغییر در مقدار کارتنوئیدها معنی‌دار نبود (داده‌ها نشان داده نشده است). بین ژنوتیپ‌ها از نظر کلروفیل a اختلاف معنی‌دار مشاهده نشد. اما اثر متقابل ژنوتیپ و تنش خشکی در سطح ۵٪ معنی‌دار بود. بیشترین متوسط کاهش مقدار کلروفیل a در تیمارهای تحت تنش نسبت به تیمار شاهد با ۶۱٪ در ژنوتیپ MCC544 مشاهده شد. در مقابل، در ژنوتیپ MCC760 وجود کاهش مقدار کلروفیل a در تیمار ۶- بار نسبت به شاهد، به‌طور متوسط ۱۶٪ افزایش در مقدار کلروفیل a در تیمارهای تحت تنش نسبت به شاهد رخ داد (جدول ۴). در تیمارهای مورد مطالعه، بر خلاف کلروفیل a، ژنوتیپ‌ها از نظر مقدار

بررسی تغییرات فتوسنتز در ژنوتیپ‌ها و تیمارهای مورد مطالعه نشان داد که با افزایش شدت تنش، میزان فتوسنتز ژنوتیپ‌های مورد مطالعه به‌طور معنی‌داری کاهش یافت (جدول ۲). به نحوی که در تیمار ۶- بار نسبت به شرایط شاهد به‌طور متوسط ۸۷٪ از مقدار فتوسنتز کاسته شد. از این نظر در بین ژنوتیپ‌ها نیز اختلاف معنی‌دار مشاهده شد. در میان ژنوتیپ‌ها به‌طور میانگین در تیمارهای مورد مطالعه بیشترین مقدار فتوسنتز در ژنوتیپ MCC753 و کمترین مقدار در ژنوتیپ MCC770 ثبت شد. در تیمارهای شاهد، ژنوتیپ‌های MCC674 و MCC770 به‌ترتیب بیشترین و کمترین مقدار فتوسنتز را دارا بودند. به‌علاوه، نتایج نشان داد که بین ژنوتیپ‌ها از نظر مقدار فتوسنتز تنوع بیشتری در تیمار تنش ۳- بار نسبت به ۶- بار وجود دارد. در این تیمار، بیشترین کاهش فتوسنتز به میزان ۹۳٪ نسبت به شاهد در ژنوتیپ MCC544 و کمترین کاهش به میزان ۱۰٪ در ژنوتیپ MCC333 رخ داد. این درحالی بود که نرخ کاهش فتوسنتز در تیمار ۶- بار نسبت به شاهد در ژنوتیپ‌ها بین ۷۰ تا ۱۰۰ درصد در نوسان بود (جدول ۲).

متناسب با تغییرات در مقدار فتوسنتز، مقدار تبخیر و تعرق برگ‌ها با افزایش شدت تنش به‌طور معنی‌داری کاهش یافت. در این ارتباط، بین ژنوتیپ‌ها نیز اختلاف معنی‌داری وجود داشت. همانند فتوسنتز، به‌طور میانگین در تیمارهای مورد مطالعه بیشترین مقدار تبخیر و تعرق در ژنوتیپ MCC753 و کمترین مقدار در ژنوتیپ MCC770 رخ داد. اثرهای متقابل ژنوتیپ و تنش خشکی نیز معنی‌دار ($P \leq 0.05$) بود. بیشترین و کمترین مقدار تبخیر و تعرق برگ در تیمار شاهد به‌ترتیب به ژنوتیپ‌های MCC753 و MCC333 تعلق داشت. این تنوع پاسخ در میزان تبخیر و تعرق در تیمار شاهد می‌تواند بیانگر وجود تنوع از نظر تعداد و کارکرد روزنه‌ها در بین ژنوتیپ‌های مورد مطالعه باشد. در میان ژنوتیپ‌ها، بیشترین و کمترین کاهش تبخیر و تعرق برگ در تیمارهای تنش نسبت به شاهد به‌ترتیب در ژنوتیپ‌های MCC760 و MCC773 مشاهده شد.

جدول ۲. اثر تنش خشکی بر فئوسنتز (میکرومول بر مترمربع بر ثانیه)، تبخیر و ترق (ملی‌مول بر مترمربع بر ثانیه) و کارآیی مصرف آب (میکرومول دی‌اکسید کربن تثبیت شده به ملی‌مول آب تبخیر شده) در ۱۲ زون‌تیب نمود

میانگین	کارآیی مصرف آب			میانگین	تبخیر و ترق			میانگین	فئوسنتز			ژنوتیپ
	۶-بار	۳-بار	شاهد		۶-بار	۳-بار	شاهد		۶-بار	۳-بار	شاهد	
۴/۰۹abc	۳/۲۱	۴/۵	۴/۵۷	۱/۰۳c	۰/۳۶	۰/۱۶	۱/۱۶	۶/۰۷bc	۱/۳۵	۷/۹۷	۸/۸۸	MCC333
۵/۶۴ab	۹/۶۷	۳/۷۵	۳/۵۱	۲/۱۳ab	۰/۴۱	۱/۲۶	۴/۷۱	۸/۲۹ab	۳/۷۴	۵/۰۱	۱۶/۱۳	MCC537
۲/۳۷a-d	۰/۷۵	۳	۲/۶۷	۱/۱۸bc	۰/۱۱	۰/۲۸	۳/۱۵	۴/۱۱c	۰/۱۱	۰/۷۶	۱۱/۴۷	MCC544
۴/۳۳abc	۴/۷۸	۴/۴۸	۴/۰۳	۱/۶۷bc	۰/۱۴	۰/۵	۴/۳۸	۶/۸۵abc	۰/۶۲	۲/۷۵	۱۷/۱۹	MCC674
۳/۳۷a-d	۴/۰۳	۳/۴	۷/۹۸	۲/۶۳a	۱/۱۸	۱/۳۸	۵/۳۳	۹/۱۹a	۷/۱۱	۴/۶۶	۱۵/۸۱	MCC753
۰/۹۰cd	۰/۳۳	-۱/۷	۴/۰۷	۱/۳۱bc	۰/۳۱	۰/۶۹	۲/۹۳	۴/۵۳bc	۰/۷۵	۲/۳۱	۱۰/۵۲	MCC759
۲/۷۲a-d	۰/۸۲	۳/۵۲	۳/۸۲	۱/۲۲bc	۰/۱۲	۰/۲۴	۳/۳	۴/۱۷c	-۰/۱۹	۱/۰۸	۱۱/۶۳	MCC760
۲/۹۲a-d	۰/۸۵	۳/۹	۴/۰۱	۰/۹۶c	۰/۳۴	۰/۲۹	۲/۲۵	۳/۱۸c	۰/۵۳	۱/۱۴	۷/۸۷	MCC770
۱/۵۶bcd	-۲/۱۲	۲/۹۶	۳/۸۴	۱/۷۲bc	۰/۳۲	۲/۰۴	۲/۸۱	۵/۹۱bc	۰/۷۷	۶/۴۵	۱۰/۴۹	MCC773
۶/۰۶a	۱۱/۸۳	۲/۳۳	۴/۰۳	۱/۳۴bc	۰/۴۲	۰/۵۶	۳/۰۵	۵/۴۰bc	۳/۰۵	۱/۷۳	۱۱/۴۳	MCC783
۳/۵۰abc	۱/۲۹-	۵/۰۳	۶/۷۶	۱/۰۷bc	۰/۳۸	۰/۹۲	۱/۹۲	۶/۰۷bc	۱/۱۵	۴/۷۲	۱۲/۳۴	MCC806
-۰/۶۴d	-۴/۶۷	-۰/۹	۲/۶۵	۱/۴۱bc	۰/۱۵	۰/۸۹	۳/۱۸	۴/۲۵bc	-۰/۷۴	۲/۴۱	۱۱/۱	MCC877
LSD=۶	۲/۳۵a	۲/۸۶a	۴/۰۸a	LSD=۱/۲	۰/۳۵c	۰/۸۷b	۲/۲۳a	LSD=۵/۳	۱/۵۲c	۳/۴۱b	۱۲/۰۷a	میانگین

مقایسه میانگین اثر مستقیم بر اساس آزمون چند دامنه دانکن در سطح ۵٪ انجام شد و مقدار LSD برای مقایسه میانگین اثر متقابل در سطح ۵٪ بود.

جدول ۳. اثر تنش خشکی بر عملکرد کوانتومی فتوسیستم II در ۱۲ ژنوتیپ نخود

ژنوتیپ	عملکرد کوانتومی فتوسیستم II			میانگین
	شاهد	۳-بار	۶-بار	
MCC333	۰/۶۶۲	۰/۶۶۸	۰/۶۱۵	۰/۶۴۸a
MCC537	۰/۶۳۷	۰/۶۶۳	۰/۶۵۸	۰/۶۵۲a
MCC544	۰/۶۲۸	۰/۶۴۴	۰/۶۴۷	۰/۶۴۰ab
MCC674	۰/۶۲۲	۰/۶۶	۰/۶۸۶	۰/۶۵۶a
MCC753	۰/۶۵۲	۰/۶۸۷	۰/۶۳۵	۰/۶۵۸a
MCC759	۰/۶۴۳	۰/۶۸۳	۰/۶۷۵	۰/۶۶۷a
MCC760	۰/۶۷۳	۰/۶۶۳	۰/۶۵۳	۰/۶۶۳a
MCC770	۰/۶۶۴	۰/۵۹۳	۰/۶۱۳	۰/۶۲۳ab
MCC773	۰/۶۷۵	۰/۶۹	۰/۶۴۵	۰/۶۷۰a
MCC783	۰/۶۴۷	۰/۶۹۲	۰/۶۷۲	۰/۶۷۰a
MCC806	۰/۶۸۶	۰/۶۸	۰/۶۵۳	۰/۶۷۳a
MCC877	۰/۶۷۱	۰/۴۵	۰/۶۳۳	۰/۵۸۵b
میانگین	۰/۶۵۵a	۰/۶۴۸a	۰/۶۴۹a	LSD=۰/۰۸

مقایسه میانگین اثر مستقیم براساس آزمون چند دامنه دانکن در سطح ۵٪ انجام شد و مقدار LSD برای مقایسه میانگین اثر متقابل در سطح ۵٪ بود.

میزان ترکیبات فنلی در پاسخ به تنش خشکی در ژنوتیپ‌های مورد مطالعه کاهش معنی‌داری پیدا کرد. بین ژنوتیپ‌ها نیز از نظر میزان فنل کل اختلاف معنی‌دار وجود داشت. به طوری که در تیمارهای مورد مطالعه بیشترین مقدار فنل در ژنوتیپ MCC759 و کمترین مقدار در ژنوتیپ MCC770 مشاهده شد. بیشترین کاهش در مقدار فنل برگ به طور متوسط در تیمارهای تنش نسبت به شاهد در ژنوتیپ MCC783 مشاهده شد. در مقابل، این مقدار در ژنوتیپ MCC760 افزایش نشان داد. در این ارتباط، افزایش ۶۶ درصدی مقدار فنل کل برگ در تیمار تنش ۳-بار نسبت به شاهد در این ژنوتیپ مشاهده شد (جدول ۵).

نتایج بررسی تغییرات ظرفیت مهار رادیکال‌های آزاد مورد مطالعه نشان داد که با وجود افزایش در تیمار ۶-بار، اختلاف معنی‌داری بین تیمارهای تنش خشکی مورد مطالعه وجود نداشت. با این وجود، از این نظر بین ژنوتیپ‌ها اختلاف

کلروفیل b با هم اختلاف معنی‌دار داشتند. در این میان ژنوتیپ‌های MCC753 و MCC760 به ترتیب بیشترین و کمترین میزان کلروفیل b را به خود اختصاص دادند. بین ژنوتیپ‌ها افزایش معنی‌دار در مقدار کلروفیل b در دو ژنوتیپ MCC753 و MCC773 در تیمار تنش ۳-بار نسبت به شاهد مشاهده شد. در حالی که در دیگر ژنوتیپ‌ها مانند MCC877 این صفت در پاسخ به تنش خشکی به طور معنی‌داری کاهش یافت (جدول ۴). با این حال، نسبت مجموع مقدار کلروفیل b و کارتنوئیدها به مقدار کلروفیل a در پاسخ به تنش خشکی به نسبت شاهد به طور معنی‌داری افزایش پیدا کرد (جدول ۴). بین ژنوتیپ‌ها به طور متوسط در تیمارهای مورد مطالعه این نسبت در ژنوتیپ MCC773 بیشتر از سایر ژنوتیپ‌ها بود. در این ارتباط بیشترین افزایش در این نسبت در تیمارهای تنش نسبت به تیمار شاهد با متوسط ۶۴٪ در ژنوتیپ MCC773 و کمترین افزایش در ژنوتیپ MCC760 مشاهده شد (جدول ۴).

جدول ۴. اثر تنش خشکی بر مقدار کلروفیل a (میلی گرم در گرم ماده خشک)، کلروفیل b (میلی گرم در گرم ماده خشک) و نسبت کلروفیل b و کارتنوئیدها به کلروفیل a و کارتنوئیدها

میانگین	نسبت کلروفیل b و کارتنوئیدها			کلروفیل b			کلروفیل a			ژنوتیپ		
	۶-بار	۳-بار	شاهد	۶-بار	۳-بار	شاهد	۶-بار	۳-بار	شاهد			
°/۸۰b	°/۸۴	°/۷۸	°/۷۸	۳/۸۳ab	۳/۱۸	۲/۹۱	۵/۳۹	۵/۷۵a	۴/۸۴	۴/۱۸	۸/۲۳	MCC333
°/۷۶b	°/۷۶	°/۷۷	°/۷۶	۳/۴۳abc	۲/۲	۴/۶۴	۲/۲۶	۵/۱۹a	۲/۵۸	۶/۴۱	۵/۵۷	MCC537
°/۸۰b	°/۸۲	°/۸۳	°/۷۵	۳/۶۸ab	۲/۰۲	۳/۱۳	۵/۸۹	۵/۴۸a	۲/۷۸	۴/۳۵	۹/۳۱	MCC544
°/۸۵b	۱	°/۸۱	°/۷۲	۳/۰۶abc	۱/۲۹	۲/۶۲	۴/۲۷	۴/۷۱a	۱/۹	۵/۳۲	۶/۹۱	MCC674
°/۷۸b	°/۷۶	°/۷۶	°/۷۲	۴/۵۰a	۲/۸۵	۶/۴۹	۴/۱۴	۶/۶۱a	۴/۶۸	۸/۳۴	۶/۸۲	MCC753
°/۸۳b	°/۸۹	°/۸۵	°/۷۶	۳/۸۸ab	۲/۰۹	۴/۲۱	۵/۳۳	۶/۱۰a	۲/۹۹	۷/۰۱	۸/۲۹	MCC759
°/۸۲b	°/۸۸	°/۷۴	°/۸۳	۲/۳۷c	۱/۵۴	۳/۳۱	۲/۲۶	۴/۱۹a	۲/۵۳	۶/۳	۳/۷۴	MCC760
°/۸۴b	°/۸۳	°/۹۴	°/۷۶	۲/۸۲abc	۳/۱۲	۲/۵۱	۲/۸۴	۴/۳۵a	۵/۰۶	۳/۳۷	۴/۶۲	MCC770
°/۹۸a	۱/۴۵	°/۸	°/۶۹	۳/۹۱abc	۲/۲	۶/۱۵	۳/۳۸	۵/۳۸a	۱/۷۷	۸/۵۴	۵/۸۴	MCC773
°/۷۴b	°/۷۴	°/۸۵	°/۶۲	۳/۲۲bc	۲/۲	۲/۸	۴/۶۶	۴/۵۴a	۴/۰۴	۴/۰۱	۵/۵۸	MCC783
°/۷۸b	°/۸۴	°/۷۹	°/۷	۳/۲۵abc	۲/۷۷	۳/۹۳	۳/۰۵	۵/۴۳a	۴/۳۸	۶/۲۸	۵/۶۳	MCC806
°/۸۵b	°/۹۸	°/۸۱	°/۷۵	۲/۸۸abc	۲/۲۷	۱/۷۷	۴/۵۹	۴/۲۶a	۳/۰۳	۲/۸۲	۶/۹۱	MCC877
LSD=°/۱۶	°/۹۰a	°/۸۲ab	°/۷۴b	LSD=۲	۲/۳۱b	۳/۷۸ab	4.10a	LSD=۳/۱	۳/۳۷b	۵/۵۸ab	۶/۴۵a	میانگین

مقایسه میانگین اثر مستقیم براساس آزمون چند دامنه دانکن در سطح ۵٪ انجام شد و مقدار LSD برای مقایسه میانگین اثر متقابل در سطح ۵٪ بود.

جدول ۵. اثر تنش خشکی بر مقدار فنل کل برگ (میلی گرم اسید گالیک در گرم ماده خشک)، ظرفیت مهار رادیکالهای آزاد برگ (ظرفیت مهار رادیکالهای آزاد غشا (درصد) و شاخص پایداری غشا (درصد) در ۱۲ ژنوتیپ نخود

ژنوتیپ	فنل کل برگ			میانگین			ظرفیت مهار رادیکالهای آزاد برگ			میانگین			شاخص پایداری غشا			میانگین
	۶-بار	۶-بار	۶-بار	شاهد	۳-بار	۶-بار	شاهد	۳-بار	۶-بار	شاهد	۳-بار	۶-بار	۶-بار	میانگین		
MCC333	۲۲/۹۳	۲۲/۱۲	۲۷/۶۸	۲۴/۲۵ab	۲۴/۷۲	۳۲/۶۳	۳۰	۲۹/۱۲abc	۰/۹۸	۰/۹۹	۰/۹۷	۰/۷۷	۰/۹۱a	۰/۹۱a	۰/۷۷	
MCC537	۲۲/۴۴	۱۹/۳۳	۱۲/۵۸	۱۸/۱۱ab	۱۸/۴۳	۱۶/۲۳	۱۹/۰۷	۱۷/۹۱c	۰/۹۸	۰/۹۲	۰/۹۷	۰/۹۹	۰/۹۶a	۰/۹۶a	۰/۹۹	
MCC544	۲۶/۵۸	۲۰/۴۹	۱۷/۸	۲۴/۹۶a	۲۶/۱۹	۲۰/۹۹	۲۰/۹۹	۲۷/۸۳	۰/۹۷	۰/۹۷	۰/۹۷	۰/۴۳	۰/۷۱bc	۰/۷۱bc	۰/۴۳	
MCC674	۲۵/۰۳	۱۸/۶۸	۱۸/۲۵	۲۰/۶۵ab	۲۰/۶۵	۲۶/۸۳	۲۴/۳	۲۳/۸۹abc	۰/۹۴	۰/۹۴	۰/۹۴	۰/۶۹	۰/۸۶abc	۰/۸۶abc	۰/۶۹	
MCC753	۱۹/۲۵	۲۰/۳۴	۱۷/۳۹	۱۹/۰۰ab	۱۹/۸۷	۱۴/۰۸	۲۱/۶۴	۱۸/۵۳c	۰/۹۸	۰/۹۹	۰/۹۹	۰/۹۸	۰/۹۹a	۰/۹۹a	۰/۹۸	
MCC759	۳۲/۰۱	۳۱/۲۸	۱۶/۹۸	۲۶/۷۶a	۲۵/۶۱	۲۹/۵۵	۲۵/۸۷	۳۰/۳۴abc	۰/۸۳	۰/۹۷	۰/۹۷	۰/۷۳	۰/۸۴abc	۰/۸۴abc	۰/۷۳	
MCC760	۲۰/۶۷	۳۴/۸۲	۲۰/۲۴	۲۵/۲۴a	۲۶/۶۴	۲۱/۰۵	۵۱/۹۷	۳۳/۲۲a	۰/۷	۰/۸۹	۰/۸۹	۰/۴۸	۰/۶۹c	۰/۶۹c	۰/۴۸	
MCC770	۱۶/۵۷	۱۰/۰۳	۲۱/۱۸	۱۵/۹۳b	۲۶/۲۹	۱۰/۸۶	۲۰/۷۵	۱۹/۳۰bc	۰/۹۶	۰/۹۸	۰/۹۸	۰/۶۹	۰/۷۸a	۰/۷۸a	۰/۶۹	
MCC773	۱۹/۵۵	۲۵/۲۸	۱۷/۱۵	۲۰/۶۶ab	۲۳/۴۲	۲۱/۰۷	۲۹/۴۴	۲۴/۶۴abc	۰/۹۹	۰/۹۸	۰/۹۸	۰/۶۸	۰/۸۹ab	۰/۸۹ab	۰/۶۸	
MCC783	۲۷/۰۲	۱۶/۷۷	۱۵/۵۳	۱۹/۷۷ab	۲۶/۶	۲۰/۵۹	۲۸/۱۱	۲۵/۱۰abc	۰/۷۴	۰/۹۷	۰/۹۷	۰/۸۵	۰/۸۵abc	۰/۸۵abc	۰/۸۵	
MCC806	۲۴/۶۱	۲۸/۳	۲۱/۷۷	۲۴/۸۹ab	۲۵/۸۶	۱۹/۲۵	۸۷/۶	۱۷/۹۶c	۰/۹۲	۰/۹۷	۰/۹۷	۰/۷۹	۰/۸۹a	۰/۸۹a	۰/۷۹	
MCC877	۲۱/۱۴	۲۰/۳۳	۱۷/۹۴	۱۹/۸۰ab	۱۵/۵۷	۲۵/۹	۳۵/۹	۳۲/۴۶ab	۰/۵۵	۰/۹۵	۰/۹۵	۰/۶۳	۰/۷۱bc	۰/۷۱bc	۰/۵۵	
میانگین	۲۳/۹۸a	۲۲/۳۱ab	۱۸/۷۱b	LSD=۱۲/۲	۲۳/۳۲a	۲۹/۲۴a	۲۹/۲۷a	LSD=۲۰	۰/۹۶a	۰/۷۷a	۰/۷۲b	۰/۷۲b	LSD=۰/۲۶	۰/۷۲b	۰/۷۲b	

مقایسه میانگین اثر مستقیم بر اساس آزمون چند دامنه دانکن در سطح ۵٪ انجام شد و مقدار LSD برای مقایسه میانگین اثر متقابل در سطح ۵٪ بود.

معنی دار مشاهده شد. به‌طور میانگین در تیمارهای مورد مطالعه، بیشترین ظرفیت مهار رادیکال‌های آزاد در ژنوتیپ MCC760 و کمترین مقدار در ژنوتیپ MCC537 مشاهده شد. در بین ژنوتیپ‌ها ظرفیت مهار رادیکال‌های فعال در تیمار تنش ۶-بار نسبت به شاهد در ژنوتیپ‌های MCC544، MCC760 و MCC877 به‌طور معنی‌داری افزایش یافت (جدول ۵). شاخص پایداری غشاء در پاسخ به تنش خشکی به‌طور معنی‌داری کاهش یافت. از این نظر بین ژنوتیپ‌ها نیز اختلاف معنی‌دار مشاهده شد. به‌طور میانگین در تیمارهای مورد مطالعه، بیشترین شاخص پایداری غشاء در ژنوتیپ MCC753 و کمترین مقدار در ژنوتیپ MCC760 مشاهده شد. بیشترین کاهش در پایداری غشاء به‌طور متوسط در تیمارهای تنش نسبت به شاهد با متوسط ۳۹٪ در ژنوتیپ MCC544 رخ داد، در مقابل، در ژنوتیپ MCC537 با افزایش شدت تنش بر پایداری غشاء افزوده شد، اگر چه این افزایش معنی‌دار نبود (جدول ۵).

بررسی‌ها نشان داده است که تنش خشکی می‌تواند از طریق عوامل مرتبط با روزنه و عوامل غیرمرتبط بر میزان فتوسنتز و در نتیجه میزان تولید در گیاه تأثیرگذار باشد (۱۶). بررسی تغییرات تبخیر و تعرق و تثبیت کربن در ژنوتیپ‌های مورد بررسی نشان داد که همبستگی مثبت و معنی‌داری بین مقدار تثبیت کربن و مقدار تبخیر از سطح برگ در هر یک از تیمارهای مورد مطالعه وجود دارد (جدول ۶). با توجه به این‌که بخش عمده کنترل تبخیر و تعرق برگ تحت کنترل روزنه‌ها است، وجود همبستگی زیاد بین این دو صفت در بین ژنوتیپ‌های مورد مطالعه ممکن است بیانگر این مطلب باشد که بخش عمده‌ای از تأثیر تنش خشکی بر مقدار فتوسنتز از طریق تأثیر بر روزنه‌ها باشد (۱۶). در این مطالعه، همبستگی مثبت و معنی‌داری بین مقدار فتوسنتز و تبخیر و تعرق با مقدار نسبی آب برگ و مقدار ماده خشک در مجموع تیمارها مشاهده شد (جدول ۶). با این حال، همبستگی معنی‌داری بین مقدار فتوسنتز و تبخیر تعرق با مقدار تولید ماده خشک در هر یک از تیمارها به‌صورت جداگانه مشاهده نشد (جدول ۷). در تیمار شاهد، مقدار نسبی

آب برگ نیز با وجود همبستگی اندک و منفی با تبخیر و تعرق، همبستگی معنی‌داری با فتوسنتز نشان نداد. در مقابل، در تیمارهای تنش، همبستگی مثبت و معنی‌داری بین مقدار نسبی آب برگ و مقدار فتوسنتز خالص و تبخیر و تعرق مشاهده شد (جدول ۷). به نظر می‌رسد که در شرایط تنش، حفظ و تأمین آب برگ‌ها برای حفظ فتوسنتز و تبخیر و تعرق ضروری باشد. به‌عنوان نمونه، ژنوتیپ MCC753 که بیشترین میانگین فتوسنتز را به‌طور میانگین در تیمارهای مورد مطالعه دارا بود، در مطالعه‌ای که توسط زارع مهرجردی و همکاران (۱۳۹۰) روی همین ژنوتیپ‌ها انجام گرفت، در بین ژنوتیپ‌های مورد مطالعه کمترین ارتفاع بوته را داشت. به‌علاوه از نظر کمترین مقدار سطح برگ و بیشترین مقدار نسبت ریشه به اندام هوایی و مقدار نسبی آب برگ در رتبه دوم در بین ژنوتیپ‌ها قرار گرفته بود.

کارایی مصرف آب اغلب مترادف با تحمل به خشکی است که عملکرد گیاهان زراعی تحت تنش را بهبود می‌بخشد و به‌عنوان یک صفت مطلوب برای ایجاد تحمل به خشکی در گیاهان در مطالعات مد نظر می‌باشد. گیاهانی که از کارایی مصرف آب بالاتری برخوردار هستند به ازای مصرف آب کمتر تولید بیشتری دارند (۱۳). در این مطالعه نیز بین ژنوتیپ‌ها از نظر این شاخص تنوع مشاهده شد. ژنوتیپ MCC873 که بیشترین مقدار کارایی مصرف آب را در تیمارهای مورد مطالعه داشت، در مطالعه زارع مهرجردی و همکاران (۱۳۹۰) نیز بیشترین تحمل به خشکی را در بین ژنوتیپ‌ها دارا بود. نتایج نشان داد که بین کارایی مصرف آب و تولید زیست‌توده و مقدار نسبی آب برگ، همبستگی مثبت و معنی‌دار در مجموع تیمارها وجود دارد (جدول ۶). در تیمار شاهد، هیچ‌گونه همبستگی معنی‌داری بین میزان تولید ماده خشک با کارایی مصرف آب مشاهده نشد. با این‌حال، در این شرایط، همبستگی مثبت و معنی‌داری بین مقدار نسبی آب برگ و کارایی مصرف آب در ژنوتیپ‌های مورد مطالعه مشاهده شد (جدول ۶). با در نظر گرفتن همبستگی منفی کارایی مصرف آب با مقدار تبخیر و تعرق برگ در این شرایط (جدول ۶) به نظر می‌رسد که تنظیم روزنه‌ها و

	۱	۲	۳	۴	۵	۶	۷	۸	۹	۱۰	۱۱	۱۲	۱۳	۱۴	۱۵
۵۱) ظرفیت آنتی اکسیدانسی بر برگ	۱	۶۰/۰-	۶۰/۰-	۱۱۰/۰	۱۱۰/۰	۱۱۰/۰	۶۱/۰-	۱۱۰/۰-	۵۱/۰-	۵۱/۰-	۵۱/۰-	۵۱/۰-	۵۱/۰-	۵۱/۰-	۵۱/۰-
۵۲) رنگدانگی کل	۱۰/۰-	۱	۵۳/۰-	۵۳/۰-	۵۳/۰-	۵۳/۰-	۷۰/۰-	۷۱/۰-	۵۳/۰-	۵۳/۰-	۵۳/۰-	۱۱/۰-	۱۱/۰-	۷۰/۰-	۴۰/۰-
۵۳) نسبت کلروفیل a به کلروفیل b	۱۱۶/۰	۱	۳۰/۰-	۴۱/۰-	۴۱/۰-	۴۰/۰-	۴۰/۰-	۴۰/۰-	۳۳/۰-	۳۳/۰-	۳۳/۰-	۳۳/۰-	۳۳/۰-	۳۳/۰-	۳۳/۰-
۵۴) همپروتئینها	۴۰/۰	۱	۳۳/۰-	۳۳/۰-	۳۳/۰-	۳۳/۰-	۳۳/۰-	۳۳/۰-	۳۳/۰-	۳۳/۰-	۳۳/۰-	۳۳/۰-	۳۳/۰-	۳۳/۰-	۳۳/۰-
۵۵) کلروفیل a	۱۱۱/۰-	۱	۱۱۱/۰-	۱۱۱/۰-	۱۱۱/۰-	۱۱۱/۰-	۱۱۱/۰-	۱۱۱/۰-	۱۱۱/۰-	۱۱۱/۰-	۱۱۱/۰-	۱۱۱/۰-	۱۱۱/۰-	۱۱۱/۰-	۱۱۱/۰-
۵۶) کلروفیل b	۱۱۱/۰-	۱	۱۱۱/۰-	۱۱۱/۰-	۱۱۱/۰-	۱۱۱/۰-	۱۱۱/۰-	۱۱۱/۰-	۱۱۱/۰-	۱۱۱/۰-	۱۱۱/۰-	۱۱۱/۰-	۱۱۱/۰-	۱۱۱/۰-	۱۱۱/۰-
۵۷) کاربونی مصرف آب	۱۱۱/۰-	۱	۱۱۱/۰-	۱۱۱/۰-	۱۱۱/۰-	۱۱۱/۰-	۱۱۱/۰-	۱۱۱/۰-	۱۱۱/۰-	۱۱۱/۰-	۱۱۱/۰-	۱۱۱/۰-	۱۱۱/۰-	۱۱۱/۰-	۱۱۱/۰-
۵۸) قنوع و تخمیر	۱۱۱/۰-	۱	۱۱۱/۰-	۱۱۱/۰-	۱۱۱/۰-	۱۱۱/۰-	۱۱۱/۰-	۱۱۱/۰-	۱۱۱/۰-	۱۱۱/۰-	۱۱۱/۰-	۱۱۱/۰-	۱۱۱/۰-	۱۱۱/۰-	۱۱۱/۰-
۵۹) استخراج کلروفرم	۱۱۱/۰-	۱	۱۱۱/۰-	۱۱۱/۰-	۱۱۱/۰-	۱۱۱/۰-	۱۱۱/۰-	۱۱۱/۰-	۱۱۱/۰-	۱۱۱/۰-	۱۱۱/۰-	۱۱۱/۰-	۱۱۱/۰-	۱۱۱/۰-	۱۱۱/۰-
۶۰) سطح برگ	۱۱۱/۰-	۱	۱۱۱/۰-	۱۱۱/۰-	۱۱۱/۰-	۱۱۱/۰-	۱۱۱/۰-	۱۱۱/۰-	۱۱۱/۰-	۱۱۱/۰-	۱۱۱/۰-	۱۱۱/۰-	۱۱۱/۰-	۱۱۱/۰-	۱۱۱/۰-
۶۱) فنل کل برگ	۱۱۱/۰-	۱	۱۱۱/۰-	۱۱۱/۰-	۱۱۱/۰-	۱۱۱/۰-	۱۱۱/۰-	۱۱۱/۰-	۱۱۱/۰-	۱۱۱/۰-	۱۱۱/۰-	۱۱۱/۰-	۱۱۱/۰-	۱۱۱/۰-	۱۱۱/۰-
۶۲) کلروفرم	۱۱۱/۰-	۱	۱۱۱/۰-	۱۱۱/۰-	۱۱۱/۰-	۱۱۱/۰-	۱۱۱/۰-	۱۱۱/۰-	۱۱۱/۰-	۱۱۱/۰-	۱۱۱/۰-	۱۱۱/۰-	۱۱۱/۰-	۱۱۱/۰-	۱۱۱/۰-
۶۳) شاخص کارباید	۱۱۱/۰-	۱	۱۱۱/۰-	۱۱۱/۰-	۱۱۱/۰-	۱۱۱/۰-	۱۱۱/۰-	۱۱۱/۰-	۱۱۱/۰-	۱۱۱/۰-	۱۱۱/۰-	۱۱۱/۰-	۱۱۱/۰-	۱۱۱/۰-	۱۱۱/۰-
۶۴) برگ آرسن	۱۱۱/۰-	۱	۱۱۱/۰-	۱۱۱/۰-	۱۱۱/۰-	۱۱۱/۰-	۱۱۱/۰-	۱۱۱/۰-	۱۱۱/۰-	۱۱۱/۰-	۱۱۱/۰-	۱۱۱/۰-	۱۱۱/۰-	۱۱۱/۰-	۱۱۱/۰-
۶۵) وزن خشک کل	۱۱۱/۰-	۱	۱۱۱/۰-	۱۱۱/۰-	۱۱۱/۰-	۱۱۱/۰-	۱۱۱/۰-	۱۱۱/۰-	۱۱۱/۰-	۱۱۱/۰-	۱۱۱/۰-	۱۱۱/۰-	۱۱۱/۰-	۱۱۱/۰-	۱۱۱/۰-

صفتها (کلیه) شماره ۶ (صفتها کلیه) در مجموع ۲۴ صفتها در ۱۵ تیمارهای مختلف (۱ تا ۱۵)

۵۱٪، که متوسط آن را ضمیمه پیوسته شماره ۴ ***

۵۱)	گبر کبک‌پس‌ساکا	۱	۷۰/۰-۰	۳۳/۰	۳۰/۰	۱۳/۰-۰	۵۳/۰-۰	۵۳/۰-۰	۸۱/۰-۰	۸۱/۰-۰	۵۳/۰-۰	۳۳/۰-۰	۳۰/۰	۱۳/۰-۰	۵۳/۰-۰	۵۳/۰-۰	۸۱/۰-۰
۱۴)	کلنگانه کل	۶۰/۰-۰	۱	۳۳/۰-۰	۳۳/۰-۰	۳۳/۰-۰	۳۳/۰-۰	۳۳/۰-۰	۳۳/۰-۰	۳۳/۰-۰	۳۳/۰-۰	۳۳/۰-۰	۳۳/۰-۰	۳۳/۰-۰	۳۳/۰-۰	۳۳/۰-۰	۳۳/۰-۰
۱۳)	نسبت کلروفیل b به کلروفیل a	۲۰/۰-۰	۲۰/۰-۰	۲۰/۰-۰	۲۰/۰-۰	۲۰/۰-۰	۲۰/۰-۰	۲۰/۰-۰	۲۰/۰-۰	۲۰/۰-۰	۲۰/۰-۰	۲۰/۰-۰	۲۰/۰-۰	۲۰/۰-۰	۲۰/۰-۰	۲۰/۰-۰	۲۰/۰-۰
۱۲)	تیترونیلهما	۱۳/۰-۰	۳۳/۰-۰	۳۳/۰-۰	۳۳/۰-۰	۳۳/۰-۰	۳۳/۰-۰	۳۳/۰-۰	۳۳/۰-۰	۳۳/۰-۰	۳۳/۰-۰	۳۳/۰-۰	۳۳/۰-۰	۳۳/۰-۰	۳۳/۰-۰	۳۳/۰-۰	۳۳/۰-۰
۱۱)	کلروفیل b	۱۱/۰-۰	۳۳/۰-۰	۳۳/۰-۰	۳۳/۰-۰	۳۳/۰-۰	۳۳/۰-۰	۳۳/۰-۰	۳۳/۰-۰	۳۳/۰-۰	۳۳/۰-۰	۳۳/۰-۰	۳۳/۰-۰	۳۳/۰-۰	۳۳/۰-۰	۳۳/۰-۰	۳۳/۰-۰
۱۰)	کلروفیل a	۱۱/۰-۰	۳۳/۰-۰	۳۳/۰-۰	۳۳/۰-۰	۳۳/۰-۰	۳۳/۰-۰	۳۳/۰-۰	۳۳/۰-۰	۳۳/۰-۰	۳۳/۰-۰	۳۳/۰-۰	۳۳/۰-۰	۳۳/۰-۰	۳۳/۰-۰	۳۳/۰-۰	۳۳/۰-۰
۹)	آب کازا	۳۰/۰-۰	۳۰/۰-۰	۳۰/۰-۰	۳۰/۰-۰	۳۰/۰-۰	۳۰/۰-۰	۳۰/۰-۰	۳۰/۰-۰	۳۰/۰-۰	۳۰/۰-۰	۳۰/۰-۰	۳۰/۰-۰	۳۰/۰-۰	۳۰/۰-۰	۳۰/۰-۰	۳۰/۰-۰
۸)	تبخیر و تعرق	۶۱/۰-۰	۳۰/۰-۰	۳۰/۰-۰	۳۰/۰-۰	۳۰/۰-۰	۳۰/۰-۰	۳۰/۰-۰	۳۰/۰-۰	۳۰/۰-۰	۳۰/۰-۰	۳۰/۰-۰	۳۰/۰-۰	۳۰/۰-۰	۳۰/۰-۰	۳۰/۰-۰	۳۰/۰-۰
۷)	مصلح کبک‌پس‌ساکا	۱۱/۰-۰	۳۳/۰-۰	۳۳/۰-۰	۳۳/۰-۰	۳۳/۰-۰	۳۳/۰-۰	۳۳/۰-۰	۳۳/۰-۰	۳۳/۰-۰	۳۳/۰-۰	۳۳/۰-۰	۳۳/۰-۰	۳۳/۰-۰	۳۳/۰-۰	۳۳/۰-۰	۳۳/۰-۰
۶)	سطح برگ	۵۱/۰-۰	۳۳/۰-۰	۳۳/۰-۰	۳۳/۰-۰	۳۳/۰-۰	۳۳/۰-۰	۳۳/۰-۰	۳۳/۰-۰	۳۳/۰-۰	۳۳/۰-۰	۳۳/۰-۰	۳۳/۰-۰	۳۳/۰-۰	۳۳/۰-۰	۳۳/۰-۰	۳۳/۰-۰
۵)	فصل کل برگ	۳۳/۰-۰	۳۳/۰-۰	۳۳/۰-۰	۳۳/۰-۰	۳۳/۰-۰	۳۳/۰-۰	۳۳/۰-۰	۳۳/۰-۰	۳۳/۰-۰	۳۳/۰-۰	۳۳/۰-۰	۳۳/۰-۰	۳۳/۰-۰	۳۳/۰-۰	۳۳/۰-۰	۳۳/۰-۰
۴)	فلورسانس کلروفیل	۵۱/۰-۰	۳۳/۰-۰	۳۳/۰-۰	۳۳/۰-۰	۳۳/۰-۰	۳۳/۰-۰	۳۳/۰-۰	۳۳/۰-۰	۳۳/۰-۰	۳۳/۰-۰	۳۳/۰-۰	۳۳/۰-۰	۳۳/۰-۰	۳۳/۰-۰	۳۳/۰-۰	۳۳/۰-۰
۳)	شاخص کارباید پایدار	۳۳/۰-۰	۳۳/۰-۰	۳۳/۰-۰	۳۳/۰-۰	۳۳/۰-۰	۳۳/۰-۰	۳۳/۰-۰	۳۳/۰-۰	۳۳/۰-۰	۳۳/۰-۰	۳۳/۰-۰	۳۳/۰-۰	۳۳/۰-۰	۳۳/۰-۰	۳۳/۰-۰	۳۳/۰-۰
۲)	مقدار نسبی آب برگ	۵۲/۰-۰	۳۳/۰-۰	۳۳/۰-۰	۳۳/۰-۰	۳۳/۰-۰	۳۳/۰-۰	۳۳/۰-۰	۳۳/۰-۰	۳۳/۰-۰	۳۳/۰-۰	۳۳/۰-۰	۳۳/۰-۰	۳۳/۰-۰	۳۳/۰-۰	۳۳/۰-۰	۳۳/۰-۰
۱)	وزن خشک کل	۵۰/۰-۰	۳۳/۰-۰	۳۳/۰-۰	۳۳/۰-۰	۳۳/۰-۰	۳۳/۰-۰	۳۳/۰-۰	۳۳/۰-۰	۳۳/۰-۰	۳۳/۰-۰	۳۳/۰-۰	۳۳/۰-۰	۳۳/۰-۰	۳۳/۰-۰	۳۳/۰-۰	۳۳/۰-۰

جدول ۷. ضرایب همبستگی صفات اندازه‌گیری شده پیوسته در ۳-۶ بار (مصلح کبک‌پس‌ساکا) (نقطه پایانی)

متابولیک در فتوستتر به شمار می‌روند (۸). مشخص شده که رادیکاهای آزاد تولید شده در شرایط تنش خشکی نقش به‌سزایی در تخریب و کاهش مقدار کلروفیل در برگ دارند (۴۹). در مجموع تیمارها، همبستگی مثبت و معنی‌داری بین مقدار کلروفیل a و b با مقدار تولید ماده خشک، مقدار نسبی آب برگ، سطح برگ، مقدار فتوستتر خالص، مقدار تبخیر و تعرق و کارایی مصرف آب مشاهده شد (جدول ۶). مشابه عملکرد کوانتومی فتوسیستم II، مقدار کلروفیل a و b با صفات فوق در تیمار شاهد همبستگی معنی‌داری نشان نداد (جدول ۶). در مقابل، همبستگی مثبت و معنی‌داری بین این صفات و مقدار این دو رنگدانه در تیمار تنش ۳- بار مشاهده شد (جدول ۷). در تیمار تنش ۶- بار نیز با وجود همبستگی زیاد بین مقدار این دو رنگدانه با مقدار نسبی آب برگ، همبستگی معنی‌داری بین آنها با مقدار تولید زیست‌توده مشاهده نشد (جدول ۷).

کاهش مقدار کلروفیل در اثر تنش خشکی در گیاهان مختلف از جمله پنبه (۳۷)، گلرنگ (۲۸)، آفتابگردان (۳۶) و نخود (۳۵) گزارش شده است. گزارش‌هایی وجود دارد که مقدار کلروفیل ارقام متحمل در شرایط تنش خشکی کمتر کاسته می‌شود. در برنج، افزایش مقدار کلروفیل در زمان تنش خشکی در ارقام متحمل به خشکی گزارش شده است (۴۷). در جو نیز مقدار کاهش کلروفیل در شرایط تنش در ارقام مقاوم کمتر از ارقام حساس بود (۳۲). تنش خشکی به تغییر نسبت کلروفیل a و b و کارتنوئیدها نیز منجر می‌شود. در بررسی تأثیر خشکی بر دو لاین بامیه نشان داده شد که اعمال تیمار تنش باعث افزایش مقدار کلروفیل b شد، در حالی که مقدار کلروفیل a ثابت ماند و در نتیجه نسبت کلروفیل b به a افزایش یافت (۱۰ و ۲۰). در این آزمایش نیز با افزایش شدت تنش خشکی از میزان کلروفیل a و b کاسته شد. با این حال، تأثیر تنش خشکی بر میزان کارتنوئیدها معنی‌دار نبود، که در نتیجه به افزایش نسبت کلروفیل b و کارتنوئید به کلروفیل a منجر شد. با توجه به این که کلروفیل b و کارتنوئیدها به‌عنوان رنگدانه کمکی برای انتقال انرژی در فتوستتر عمل می‌کنند، نقش مؤثری در حفاظت

جلوگیری از تبخیر بیش از حد نقش مؤثری در بهبود کارایی مصرف آب در این شرایط داشته است. در تیمار تنش ۳- بار، همبستگی مثبت و معنی‌داری بین مقدار تولید ماده خشک و مقدار نسبی آب برگ با کارایی مصرف آب در ژنوتیپ‌ها مشاهده شد (جدول ۷) و در تیمار تنش ۶- بار، کارایی مصرف آب تنها با میزان تولید ماده خشک همبستگی معنی‌دار نشان داد (جدول ۷). به نظر می‌رسد این شاخص در شرایط تنش تا حدی می‌تواند برای تفکیک ژنوتیپ‌های حساس از متحمل به کار گرفته شود. این نتایج با یافته‌های بلوم (۱۳) مطابقت دارد. یکی از صفاتی که تحت تأثیر تنش خشکی قرار می‌گیرد مقدار عملکرد کوانتومی فتوسیستم II است (۴۲). در این مطالعه، عملکرد کوانتومی فتوسیستم II در مجموع تیمارها با مقدار ماده خشک، مقدار نسبی آب برگ، سطح برگ و مقدار کلروفیل b همبستگی مثبت و معنی‌دار نشان داد (جدول ۶). با این حال، در تیمار شاهد این صفت تنها با مقدار سطح برگ و نسبت مجموع کلروفیل b و کارتنوئیدها به کلروفیل a همبستگی مثبت و معنی‌دار نشان داد. در تیمار تنش ۳- بار، این صفت همبستگی مثبت و معنی‌داری با مقدار تولید ماده خشک، مقدار نسبی آب برگ، سطح برگ، مقدار فتوستتر، مقدار کارایی مصرف آب برگ و مقدار کلروفیل a و b داشت (جدول ۷). با این حال، در تیمار تنش ۶- بار هیچ‌گونه همبستگی معنی‌داری بین این صفات مشاهده نشد (جدول ۷). به نظر می‌رسد که شدت تنش در کارایی این روش برای شناسایی ژنوتیپ‌های حساس از متحمل مؤثر باشد. به‌علاوه، در این مطالعه، واریانس زیاد در بین تکرارها و تفکیک‌پذیری کم عملکرد کوانتومی فتوسیستم II بین ژنوتیپ‌ها نشان داد که احتمالاً این صفت نشانگر مناسبی برای شناسایی ژنوتیپ‌های حساس از متحمل نخود نباشد. اشرف و همکاران (۹) نیز کارایی کم بهره‌گیری از عملکرد کوانتومی فتوسیستم II برای گزینش ارقام متحمل به خشکی در ذرت را گزارش کردند.

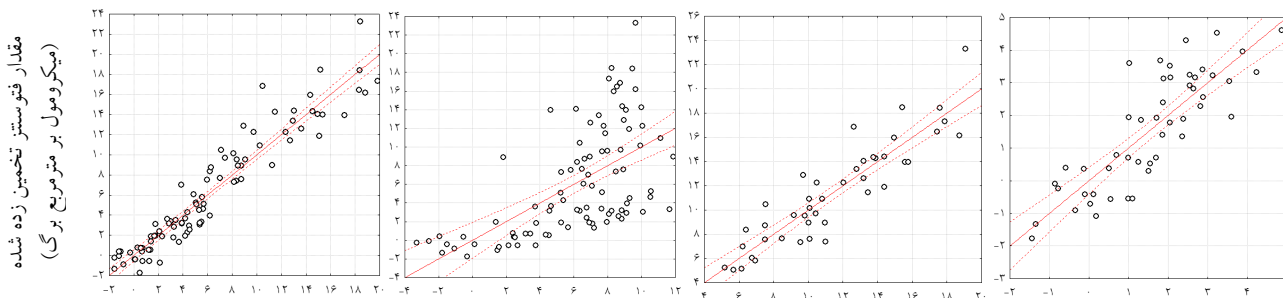
رنگدانه‌های فتوستتری عمل جذب و انتقال انرژی نور را به سامانه فتوستتری انجام می‌دهند. بنابراین جزء عوامل مؤثر

از سامانه فتوشیمیایی و پایداری آن در شرایط تنش دارند (۲۲). به نظر می‌رسد که افزایش نسبت کلروفیل b و کارتنوئیدها به کلروفیل a یک روش حفاظتی برای مقابله گیاه در برابر تنش خشکی باشد.

تنش اکسیداتیو به‌عنوان یک تنش ثانویه به دنبال تنش خشکی رخ می‌دهد (۱۸) و گیاهان برای محافظت از سامانه فتوسنتزی و ساختار سلولی خود اقدام به تولید و تجمع ترکیبات آنتی‌اکسیدان می‌کنند (۶). در این مطالعه، با وجود معنی‌دار نبودن تأثیر تنش خشکی بر ظرفیت مهار رادیکال‌های آزاد برگ به‌طور میانگین در ژنوتیپ‌های مورد مطالعه، همبستگی منفی و معنی‌دار بین مقدار ماده خشک، مقدار نسبی آب برگ و مقدار فتوسنتز، تبخیر و تعرق و کلروفیل a و b در مجموع تیمارها مشاهده شد (جدول ۶). با وجود همبستگی مثبت مقدار ظرفیت مهار رادیکال آزاد در تیمار شاهد با مقدار نسبی آب برگ، در تیمارهای تنش همبستگی منفی و معنی‌دار بین این دو متغیر وجود داشت (جدول ۷). به نظر می‌رسد که با کاهش مقدار آب نسبی برگ و ایجاد شرایط تنش خشکی، بر مقدار ظرفیت مهار رادیکال‌های آزاد در برگ‌ها افزوده می‌شود. در این شرایط، به دلیل وجود این همبستگی منفی، نمی‌توان برآورد مناسبی از تأثیر مثبت تولید آنتی‌اکسیدان‌ها بر تحمل به تنش ارائه داد. زیرا گیاهان که در شرایط تنش خشکی به دلیل دارا بودن مکانیزم‌های اجتناب مناسب با تنش کمتری مواجه می‌شوند از ظرفیت آنتی‌اکسیدانی کمتری نیز برخوردار بودند. برای بررسی تأثیر تولید آنتی‌اکسیدان‌ها در تحمل به خشکی ژنوتیپ‌ها باید شرایط تنش خشکی یکنواخت و یکسانی را در برگ‌های تمام ژنوتیپ‌ها به وجود آورد که با توجه به تنوع موجود بین ژنوتیپ‌ها کار بسیار مشکلی است. با این حال، در تیمار شاهد که برگ‌های ژنوتیپ‌های مختلف در شرایط یکنواخت‌تری نسبت به تیمارهای تنش قرار داشتند، همبستگی مثبت و معنی‌دار بین شاخص پایداری غشاء و ظرفیت حذف رادیکال‌های آزاد در برگ‌ها مشاهده شد (جدول ۶)، که این بیانگر تأثیر مثبت تولید ترکیبات آنتی‌اکسیدانی در حفظ پایداری غشاء در نخود است.

مقدار ترکیبات فنلی نیز همبستگی مثبت و معنی‌داری با ظرفیت حذف رادیکال‌های آزاد در مجموع و هر یک از تیمارها نشان داد (جداول ۶ و ۷)، که می‌تواند بیانگر نقش آنتی‌اکسیدانی ترکیبات فنلی باشد. مشخص شده که بسیاری از ترکیبات فنلی به‌عنوان آنتی‌اکسیدان عمل می‌کنند و می‌توانند به‌طور مؤثری رادیکال‌های گروه هیدروکسیل و پروکسیل را حذف کنند و از اکسید شدن چربی‌ها ممانعت به عمل آورند (۱۵). بررسی تغییرات فنل کل در تیمارهای مورد مطالعه نشان داد که با افزایش سطح تنش خشکی به‌طور معنی‌داری مقدار فنل کل در برگ‌ها کاسته شد. در سیب‌زمینی شیرین نیز کاهش ترکیبات فنلی در اثر تنش خشکی گزارش شده است (۳۳). در تربیتکاله، تنش خشکی باعث افزایش مقدار تولید ترکیبات فنلی در ارقام حساس شد، اما در ارقام مقاوم این تغییرات ناچیز بود (۲۵). این کاهش می‌تواند ناشی از تخریب این ترکیبات در اثر واکنش با ترکیبات اکسیداتیو در شرایط تنش خشکی باشد.

بهره‌گیری از تعیین نشت الکتروولت‌ها و محاسبه شاخص پایداری غشاء یکی از پرکاربردترین نشانگرهایی است که برای تخمین میزان اثر فرآیندهای تخریب‌گر غشاء در بافت‌های گیاهی تحت تأثیر عوامل نامساعد محیطی مورد استفاده قرار می‌گیرد (۱۱). از این نشانگر برای ارزیابی مقدار مقاومت به خشکی در گیاهان مختلف نظیر گندم (۲۶)، ذرت (۴۰) و سورگوم (۷) بهره گرفته شده است. در این مطالعه نیز با افزایش شدت تنش خشکی، به‌طور معنی‌داری از میزان شاخص پایداری غشاء در ژنوتیپ‌ها کاسته شد. در این ارتباط، شاخص پایداری غشاء در مجموع تیمارها همبستگی مثبت و معنی‌دار با تولید ماده خشک، مقدار نسبی آب برگ، مقدار عملکرد کوانتومی فتوسنتز II، مقدار فتوسنتز خالص، مقدار تبخیر و تعرق و رنگدانه‌های فتوسنتزی داشت (جدول ۶). در این ارتباط، ژنوتیپ MCC753 که بیشترین متوسط فتوسنتز و کمترین مقدار کاهش تبخیر و تعرق را در شرایط تنش نسبت به شاهد در بین ژنوتیپ‌ها به خود اختصاص داده بود بیشترین متوسط شاخص پایداری را در بین ژنوتیپ‌ها دارا بود.



مقدار فتوستتز مشاهده شده (میکرومول بر مترمربع برگ)

شکل ۱. پراکنش نقاط مقدار فتوستتز تخمین زده شده نسبت به فتوستتز مشاهده شده در نخود؛ به ترتیب از چپ به راست بر اساس مدل‌های

الف، ب، ج و د

جدول ۸ مدل (الف) برآورد فتوستتز خالص براساس شاخص پایداری غشاء، میزان تبخیر و تعرق و کلروفیل a و b و مدل (ب) برآورد فتوستتز خالص براساس شاخص پایداری غشاء و کلروفیل a و b در برگ نخود

ضریب	بتای استاندارد	سطح معنی داری	ضریب	بتای استاندارد	سطح معنی داری
عرض از مبدأ					
-۰/۶۷		۰/۶۷۸	۰/۷۹		۰/۶۷
۳/۹۸	۰/۱۳	۰/۰۰۱	۱۲/۲۶	۰/۰۰۷	۰/۰۰۱
۲/۹۲	۰/۸۳	-	-	۰	-
۰/۸۸	۰/۴	۰/۰۰۴	۲/۳۳	۰/۰۰۸	۰/۰۰۴
-۱/۱۱	-۰/۳۲	۰/۰۲۴	-۲/۵۳	۰/۰۱۴	۰/۰۲۴
		P<۰/۰۰۰	R ² =۰/۳۷		P<۰/۰۰۰
					R ² =۰/۹۰

یافت. کاهش توانایی مدل در تخمین فتوستتز در نمودار پراکنش نقاط ترسیم شده براساس مقدار فتوستتز ثبت شده و فتوستتز تخمین زده شده کاملاً مشخص است (شکل ۱). این نمودار نشان‌دهنده یک نمودار سهمی بوده که می‌توان نقطه عطفی حدود پنج میکرومول بر مترمربع برگ فتوستتز را برای آن در نظر گرفت. تفکیک داده‌های فتوستتز ثبت شده براساس این نقطه عطف و مدل‌سازی دوباره آنها نشان داد که در فتوستتز بالای این محدوده می‌توان مدل خطی مناسبی براساس مقدار تبخیر و تعرق و ظرفیت حذف رادیکال‌های فعال و مقدار عملکرد کوانتومی فتوسیستم II برای تخمین مقدار فتوستتز برآزش کرد (جدول ۹). درحالی‌که در فتوستتز زیر این محدوده صفات شاخص پایداری غشاء و مقدار کلروفیل a نقش معنی‌داری در تخمین مقدار فتوستتز داشتند (جدول ۱۰).

مدل‌سازی میزان فتوستتز خالص با بهره‌گیری از روش رگرسیون قدم به قدم چند متغیره براساس متغیرهای مقدار تبخیر و تعرق برگ، مقدار کلروفیل a، b و کارتنوئیدها، فنل کل برگ، ظرفیت تخریب رادیکال‌های فعال و شاخص پایداری غشاء نشان داد که با توجه به همبستگی زیاد بین میزان تبخیر و تعرق و فتوستتز مدل مناسبی برای تخمین میزان فتوستتز خالص برآزش شده که در این مدل صفات شاخص پایداری غشاء، تبخیر و تعرق و کلروفیل a و b در برآزش مقدار فتوستتز به‌طور معنی‌داری مؤثر بودند (شکل ۱ و جدول ۸). براساس بتای استاندارد و ضریب هر یک از این متغیرها، مهم‌ترین صفت برای تخمین میزان فتوستتز، میزان تبخیر و تعرق بود. حذف اثر فتوستتز از مدل نشان داد که به نحو چشمگیری از میزان دقت مدل کاسته شد و ضریب رگرسیون از ۰/۹۰ به ۰/۳۷ کاهش

جدول ۹. مدل (ج) برآورد فتوستتز خالص بالای آستانه پنج میکرومول بر مترمربع براساس تبخیر و تعرق، عملکرد کواتومی فتوسیستم II و ظرفیت حذف رادیکال‌های فعال در برگ نخود

ضریب	بتای استاندارد	سطح معنی‌داری
عرض از مبدأ	۱۸/۸۹	۰/۰۳۹
تبخیر و تعرق	۲/۳۹	۰/۰۰۰
فلورسانس کلروفیل	-۰/۰۲	۰/۰۰۷
ظرفیت آنتی اکسیدانی	۰/۱۰	۰/۰۷۵
$R^2=0/81$		$P<0/000$

جدول ۱۰. مدل (د) برآورد فتوستتز خالص زیر آستانه پنج میکرومول بر مترمربع براساس شاخص پایداری غشاء و کلروفیل a در برگ نخود

ضریب	بتای استاندارد	سطح معنی‌داری
عرض از مبدأ	-۱/۹۹	۰/۲۴۳
شاخص پایداری غشاء	۳/۵۴	۰/۰۰۰
کلروفیل a	۰/۵۷	۰/۰۱۲
$R^2=0/70$		$P<0/000$

نتیجه‌گیری

به خشکی بیشتری نیز در بین ژنوتیپ‌های مورد مطالعه داشتند. هم‌چنین این نتایج نشان داد که مکانیزم‌های مؤثر در پایداری غشاء و جلوگیری از تخریب کلروفیل در مراحل تنش شدید و زمانی که روزنه‌ها بسته می‌شوند از اهمیت زیادی برخوردارند. ژنوتیپ‌هایی که از توانایی بیشتری برای حفظ ساختار غشایی و رنگدانه‌های فتوستتزی خود در این شرایط برخوردار هستند احتمالاً سرعت بازیابی بهتری نیز پس از بر طرف شدن شرایط تنش خشکی دارند.

در مجموع، می‌توان گفت که تأمین آب برگ و جلوگیری از کاهش آب برگ در شرایط تنش خشکی به منظور جلوگیری از بسته شدن روزنه‌ها می‌تواند به‌عنوان مهم‌ترین شیوه برای تحمل به خشکی در نخود مطرح باشد. در این میان، ژنوتیپ‌هایی نظیر MCC753، MCC333 و MCC783 که از پتانسیل مناسبی برای حفظ آب برگ خود و باز نگهداشتن روزنه‌ها برخوردار بودند و هم‌چنین ظرفیت حذف رادیکال‌های فعال بالاتری داشتند از فتوستتز بیشتر در شرایط تنش برخوردار بوده و هم‌چنین تحمل

منابع مورد استفاده

۱. زارع مهرجردی م.، ع. باقری، ا. بهرامی، ج. نباتی و ع. معصومی. ۱۳۹۰. ارزیابی گزینش به تنش خشکی حاصل از پلی‌اتیلن گلیکول در محیط آبکشت در دوازده ژنوتیپ نخود (*Cicer arietinum L.*). نشریه پژوهش‌های حیوانات ایران. در دست چاپ.
۲. صداقت خواهی، ح. ۱۳۸۶. ارزیابی کشت انتظاری ژنوتیپ‌های نخود (*Cicer arietinum L.*) متحمل به سرما در شرایط آبیاری تکمیلی در مشهد. پایان‌نامه کارشناسی ارشد دانشکده کشاورزی، دانشگاه فردوسی مشهد.
۳. گنجعلی، ع.، ع. باقری و ح. پرسا. ۱۳۸۸. ارزیابی ژرم پلاسما نخود (*Cicer arietinum L.*) برای مقاومت به خشکی. مجله پژوهش‌های زراعی ایران ۷: ۱۸۵-۱۹۶.

۴. نظامی، ا. ۱۳۸۱. ارزیابی تحمل به سرما در نخود (*Cicer arietinum* L.) به منظور کشت پاییزه آن در مناطق مرتفع. رساله دکتری رشته زراعت، دانشکده کشاورزی، دانشگاه فردوسی مشهد.

5. Abe, N., T. Murata and A. Hirota. 1998. Novel 1,1-diphenyl-2-picrylhydrazyl- radical scavengers, bisorbicillin and demethyltrichodimerol, from a fungus. *Biosci. Biotechnol. Biochem.* 62: 661-662.
6. Abedi, T. and H. Pakniyat. 2010. Antioxidant enzyme changes in response to drought stress in ten cultivars of oilseed rape (*Brassica napus* L.). *Czech J. Genet. Plant Breed.* 46: 27-34.
7. Ambika Rajendran, R., A. R. Muthiah, A. Manickam, P. Shanmugasundaram and A. John Joel. 2011. Indices of drought tolerance in sorghum (*Sorghum bicolor* L. Moench) genotypes at early stages of plant growth. *Res. J. Agric. Biol. Sci.* 7: 42-46.
8. Anjum, Sh., A. X. Xie, L. Wang, M. F. Saleem, C. Man and W. Lei. 2011. Morphological, physiological and biochemical responses of plants to drought stress. *Afr. J. Agric. Res.* 6: 2026-2032.
9. Ashraf, M., S. Nawazish and H. Athar. 2007. Are chlorophyll fluorescence and photosynthetic capacity potential physiological determinants of drought tolerance in maize (*Zea mays* L.). *Pak. J. Bot.* 39: 1123-1131.
10. Ashraf, M., Z. U. Zafar and Z. A. Cheema. 1994. Effect of low potassium regimes on some salt- and drought-tolerant lines of pearl millet. *Phyton.* 34: 219-227.
11. Azizpour, K., M. R. Shakiba, N. A. Khosh Kholg Sima, H. Alyari, M. Mogaddam, E. Esfandiari and M. Pesarakli. 2010. Physiological response of spring durum wheat genotypes to salinity. *J. Plant Nutr.* 33: 859-873.
12. Bettaieb, I., I. Hamrouni-Sellami, S. Bourgou, F. Limam and B. Marzouk. 2010. Drought effects on polyphenol composition and antioxidant activities in aerial parts of *Salvia officinalis* L. *Acta Physiol. Plant.* DOI: 10.1007/s11738-010-0638-z.
13. Blum, A. 2005. Drought resistance, water use efficiency, and yield potential- are they compatible, dissonant, or mutually exclusive? *Aust. J. Agric. Res.* 56: 1159-1168.
14. Blum, A., R. Munns, J. B. Passioura, N. C. Turner, R. E. Sharp, J. S. Boyer, H. T. Nguyen and T. C. Hsiao. 1996. Letters to the editor. Genetically engineered plants resistant to soil drying and salt stress: How to interpret osmoticrelations?. *Plant Physiol.* 110: 1051-1053.
15. Boscaiu, M., M. Sanchez, I. Bautista, P. Donat, A. Lidon, J. Llinares, C. Llul, O. Mayoral and O. Vicente. 2010. Phenolic compounds as stress markers in plants from gypsum habitats. *Bull. UASVM Hort.* 67: 44-49.
16. Chaves, M. M., J. Flexas and C. Pinheiro. 2009. Photosynthesis under drought and salt stress: Regulation mechanisms from whole plant to cell. *Ann. Bot.* 103: 551-560.
17. Chaves, M. M. 1991. Effects of water deficits on carbon assimilation. *J. Exp. Bot.* 42: 1-16.
18. Chaves, M. M. and M. M. Oliveira. 2004. Mechanisms underlying plant resilience to water deficits: Prospects for water-saving agriculture. *J. Exp. Bot.* 55: 2365-2384.
19. Dere, S., T. Gines and R. Sivaci. 1998. Spectrophotometric determination of chlorophyll- a, b and total carotenoid contents of some algae species using different solvents. *Turk. J. Bot.* 22: 13-17.
20. Estill, K., R. H. Delaney, W. K. Smith and R. L. Ditterline. 1991. Water relations and productivity of alfalfa leaf chlorophyll variants. *Crop Sci.* 31: 1229-1233.
21. FAOSTAT Database. 2008. <http://apps.fao.org/faostat/>
22. Farooq, M., A. Wahid, N. Kobayashi, D. Fujita and S. M. A. Basra. 2009. Plant drought stress: Effects, mechanisms and management. *Agron. Sustain. Dev.* 29: 185-212.
23. Flexas, J., A. Diaz-Espejo, J. Galmes, R. Kaldenhoff, H. Medrano and M. Ribas-Carbo. 2007. Rapid variations of mesophyll conductance in response to changes in CO₂ concentration around leaves. *Plant Cell Environ.* 30: 1284-1298.
24. Flexas, J., J. Bota, F. Loreto, G. Cornic and T. D. Sharkey. 2004. Diffusive and metabolic limitations to photosynthesis under drought and salinity in C₃ plants. *Plant Biol.* 6: 1-11.
25. Hura T., S. Grzesiak, K. Hura, E. Thiemt, K. Tokarz and M. Wedzony. 2007. Physiological and biochemical tools useful in drought-tolerance detection in genotypes of winter triticale: Accumulation of ferulic acid. *Ann. Bot.* 100: 767-775.
26. Iqbal, S. and A. Bano. 2009. Water stress induced changes in antioxidant enzymes, membrane stability and seed protein profile of different wheat accessions. *Afr. J. Biotechnol.* 8: 6576-6587.
27. Iturbe Ormaetxe, I., P. R. Escuredo, C. Arrese-Igor and M. Becana. 1998. Oxidative damage in pea plants exposed to water deficit or paraquat. *Plant Physiol.* 116: 173-181.
28. Jaleel, C. A., P. Manivannan, G. M. A. Lakshmanan, M. Gomathinayagam, and R. Panneerselvam. 2008. Alterations in morphological parameters and photosynthetic pigment responses of *Catharanthus roseus* under soil water deficits. *Colloids Surf. B. Biointerfaces* 61: 298-303.

29. Kauser, R., H. R. Athar and M. Ashraf. 2006. Chlorophyll fluorescence: A potential indicator for rapid assessment of water stress tolerance in canola (*Brassica napus* L.). Pak. J. Bot. 38: 1501-1509.
30. Kawamitsu Y., T. Driscoll and J. S. Boyer. 2000. Photosynthesis during desiccation in an intertidal alga and a land plant. Plant Cell Physiol. 41: 344-353.
31. Lawlor, D. W. and G. Cornic. 2002. Photosynthetic carbon assimilation and associated metabolism in relation to water deficits in higher plants. Plant Cell Environ. 25: 275-294.
32. Li, R. H., P. G. Guo, B. Michael, G. Stefania and C. Salvatore. 2006. Evaluation of chlorophyll content and fluorescence parameters as indicators of drought tolerance in barley. Agric. Sci. China 5: 751-757.
33. Lin, K. H., P. Y. Chao, C. M. Yang, W. C. Cheng, H. F. Lo and T. R. Chang. 2006. The effects of flooding and drought stresses on the antioxidant constituents in sweet potato leaves. Bot. Stud. 47: 417-426.
34. Lizana, C., M. Wentworth, J. P. Martinez, D. Villegas, R. Meneses, E. H. Murchie, C. Pastenes, B. Lercari, P. Vernieri, P. Horton and M. Pinto. 2006. Differential adoption of two varieties of common bean to abiotic stress. I. Effects of drought on yield and photosynthesis. J. Exp. Bot. 57: 685-697.
35. Mafakheri, A., A. Siosemardeh, B. Bahramnejad, P. C. Struik and Y. Sohrabi. 2010. Effect of drought stress on yield, proline and chlorophyll contents in three chickpea cultivars. Aust. J. Crop Sci. 4: 580-585.
36. Manivannan, P, C. A. Jaleel, B. Sankar, A. Kishorekumar, R. Somasundaram, G. M. Alagu Lakshmanan and R. Panneerselvam. 2007. Growth, biochemical modifications and proline metabolism in *Helianthus annuus* L. as induced by drought stress. Colloids Surf. B. Biointer. 59: 141-149
37. Massacci, A., S. M. Nabiev, L. Pietrosanti, S. K. Nematov, T. N. Chernikova, K. Thor and J. Leipner. 2008. Response of the photosynthetic apparatus of cotton (*Gossypium hirsutum*) to the onset of drought stress under field conditions studied by gas-exchange analysis and chlorophyll fluorescence imaging. Plant Physiol. Biochem. 46: 189-195.
38. Michel, B. E. and M. R. Kaufman. 1973. The osmotic potential of polyethylenglycol 6000. Plant Physiol. 51: 914-916.
39. Mitchell, R. A. C., P. A. Joyce, H. Rong, V. J. Evans, P. J. Madgwick and M. A. J. Parry. 2004. Loss of decreased Rubisco phenotype between generations of wheat transformed with antisense rbcS. Ann. Appl. Biol. 145: 209-216.
40. Moussa, H. R. and S. M. Abdel-Aziz. 2008. Comparative response of drought tolerant and drought sensitive maize genotypes to water stress. Aust. J. Crop Sci. 1: 31-36.
41. Ort, D. R. 2001. When there is too much light. Plant Physiol. 125: 29-32.
42. Oukarroum, A., G. Schansker and R. J. Strasser. 2009. Drought stress effects on photosystem I content and photosystem II thermotolerance analyzed using Chl a fluorescence kinetics in barley varieties differing in their drought tolerance. Physiol. Plant 137: 188-199.
43. Reddy, A. R., K. V. Chaitanya and M. Vivekanandan. 2004. Drought-induced responses of photosynthesis and antioxidant metabolism in higher plants. J. Plant Physiol. 161: 1189-1202.
44. Sabaghpour, S. H., A. A. Mahmodi, A. Saeed, M. Kamel and R. S. Malhotra. 2006. Study on chickpea drought tolerance lines under dryland condition of Iran. Indian J. Crop Sci. 1: 70-73.
45. Sanchez, J., M. Manzanares, E. F. de Andres, J. L. Tenorio and L. Ayerbe. 1998. A turgor maintenance, osmotic adjustment and soluble sugar and proline accumulation in 49 pea cultivars in response to water stress. Field Crops Res. 59: 225-235.
46. Saxena, N. P., L. Krishnamurthy and C. Johansen. 1993. Registration of a drought resistant chickpea germplasm. Crop Sci. 33: 1424.
47. Sikuku, P. A., G. W. Netondo, J. C. Onyango and D. M. Musyimi. 2010. Chlorophyll fluorescence, protein and chlorophyll content of three Nerica rainfed rice varieties under varying irrigation regimes. J. Agric. Biol. Sci. 5: 19-25.
48. Singleton, V. L. and A. Rossi, Jr. 1965. Colorimetry of total phenolics with phosphomolybdic-phosphotungstic acid reagent. Am. J. Enol. Vitic. 16: 144.
49. Smirnoff, N. 1993. The role of active oxygen in the response of plants to water deficit and desiccation. New Phytol. 125: 27-58.
50. Subbarao, G. V., C. Johansen, A. E. Slinkard, R. C. Nageswara Rao, N. P. Saxena and Y. S. Chauhan. 1995. Strategies for improving drought resistance in grain legumes. Critic. Rev. Plant Sci. 14: 469-523.
51. Valentovic, P., M. Luxova, L. Kolarovic and O. Gasparikova. 2006. Effect of osmotic stress on compatible solutes content, membrane stability and water relations in two maize cultivars. Plant Soil Environ. 52: 186-191.

Filename: 5.doc
Directory: C:\Documents and Settings\soilless.SOILLESS-AA55F9\My Documents
Template: C:\Documents and Settings\soilless.SOILLESS-AA55F9\Application
Data\Microsoft\Templates\Normal.dotm
Title: بررسی آزمایشگاهی بیماری زایی قارچ Viegas Verticillium lecanii (Zimm)
Subject:
Author: arad
Keywords:
Comments:
Creation Date: 1/16/2011 2:45:00 AM
Change Number: 1,812
Last Saved On: 2/19/2005 9:20:00 AM
Last Saved By: soilless
Total Editing Time: 1,990 Minutes
Last Printed On: 2/19/2005 9:21:00 AM
As of Last Complete Printing
Number of Pages: 18
Number of Words: 6,190 (approx.)
Number of Characters: 35,284 (approx.)